# NURBS 基底関数を用いた曲線ベルヌーイ・オイラーはり要素の構築

Development of a Curved Bernoulli-Euler Beam Element using NURBS Basis Function

唐濹 奈央子(日本大・理) 長谷部 寛(日本大・理) Naoko KARASAWA, Nihon University Hiroshi HASEBE, Nihon University E-mail:csna21007@g.nihon-u.ac.jp

Isogeometric Analysis is effective for the structural analysis of curved members in civil engineering structures. We developed a curved Bernoulli-Euler beam element using NURBS basis function for Isogeometric Analysis. In this study, a trial function was constructed only the displacement without the angle of deflection. As a result, we confirmed that developed one obtained high convergence rates of relative error.

#### 1. はじめに

土木構造物の構造設計において、細長い部材の構造解析 には,はり要素などの構造要素が用いられる.その中でも, はりの断面に対してはりの長さが比較的大きい場合にはべ ルヌーイ・オイラーはり要素が用いられることが多い. 従 来の有限要素解析の場合曲線部材を扱う際には直線の要素 で細かく分割して解析を行うことが多く、形状誤差の発生 は逃れられない. この問題の解決策として, Hughes らによ り提案されたアイソジオメトリック解析<sup>1)</sup>(以下 IGA)を 土木構造物の構造解析に適用することが有効であると考え られる. IGA は近似関数の基底関数に, CAD の形状表現に 用いられる NURBS に代表されるスプライン関数を採用す ることで、厳密な形状表現を可能にする.

これに対し, 従来の有限要素解析における曲線ベルヌー イ・オイラーはり要素では、要素間のたわみ角の連続性を 保持するために形状関数に3次エルミート多項式を用い, さらに未知変数にたわみ角を含める必要があった 2). 著者 らはこれまで NURBS が要素間で $C^{p-1}$ 連続性を保持する関 数であることに着目し、1変数の NURBS 基底関数で離散 化した IGA の考えに基づく直線はり要素を開発した 3). 本 研究はそれを2次元平面上の曲線はり部材に適用できるよ う進展させた, NURBS 基底関数を用いた曲線ベルヌーイ・ オイラーはり要素を構築したものである. そして, 水圧荷 重の作用する円弧ばりを対象に、構築した曲線はり要素の 性能を評価した.

# 2. NURBS 曲線と基底関数

式(1)に示す NURBS 曲線は式(2)に示す NURBS 基底関 数 $R_i^p(\xi)$ とコントロールポイントの位置ベクトル $\mathbf{B}_i$ の線形

$$\mathbf{C}(\xi) = \sum_{i=1}^{n} R_{i}^{p}(\xi) \mathbf{B}_{i} \quad (1), \qquad R_{i}^{p}(\xi) = \frac{N_{i}^{p}(\xi) w_{i}}{\sum_{a}^{n} N_{a}^{p}(\xi) w_{a}} \quad (2)$$

ここで、 $\xi$ は軸方向に沿う座標値、 $w_i$ は形状を制御するため のコントロールポイントにおける重み、pは関数の次数、nはコントロールポイント数,  $N_i^p(\xi)$ は B-Spline 基底関数と 呼ばれる再帰的な関数であり、式(3a),(3b)で表される.

$$N_i^0(\xi) = \begin{cases} 1 \ (\xi_i \le \xi \le \xi_{i+1}) \\ 0 \ (otherwise) \end{cases}$$
 (3a)

・p≥1の場合

$$N_i^p(\xi) = \frac{\xi - \xi_i}{\xi_{i+p} - \xi_i} N_i^{p-1}(\xi) + \frac{\xi_{i+p+1} - \xi}{\xi_{i+p+1} - \xi_{i+1}} N_{i+1}^{p-1}(\xi)$$
 (3b) ここで、 $\xi_i$ はノットと呼ばれるパラメータであり、曲線上の要素の境界を表す局所座標値である。

#### 3. 仮想仕事式と離散化式

曲線ベルヌーイ・オイラーはりのひずみの定義4(式(4)) を用いて、せん断ひずみ=0の条件を適用した仮想仕事の原 理 <sup>5)</sup> (式(5),(6)) に代入し、 Galerkin 法に基づく有限要素 法で離散化した.

離散化式は NURBS が $C^{p-1}$ 連続であり、微分しても要素 間の連続性は自動的に保持されるという考えから、未知変 数にたわみ角を含まず式(7)のように構成した.

$$\varepsilon = u' + \frac{v}{\rho}, \quad \kappa = \theta', \quad \theta = -v' + \frac{u}{\rho}$$

$$\int_{0}^{L} (\varepsilon^* N + \kappa^* M) \, d\xi$$

$$= \int_{0}^{L} (u^* f_u + v^* f_v) \, d\xi + [\varepsilon^* \overline{N} + \kappa^* \overline{M}]_{\Gamma}$$

$$N = \varepsilon E A, \quad M = \kappa E I$$

$$u(\xi) = \sum_{i=1}^{p+1} R_i^p(x) u_i, \quad v(\xi) = \sum_{i=1}^{p+1} R_i^p(x) v_i$$

$$(5)$$

$$= \int_{0}^{L} (u^* f_u + v^* f_v) d\xi + [\varepsilon^* \overline{N} + \kappa^* \overline{M}]_{\Gamma}$$
 (5)

$$N = \varepsilon E A$$
,  $M = \kappa E I$  (6)

$$u(\xi) = \sum_{i=1}^{p+1} R_i^p(x) u_i, \ v(\xi) = \sum_{i=1}^{p+1} R_i^p(x) v_i$$
 (7)

ここで、uは軸方向変位、vは軸直交方向変位、 $\rho$ は曲率半 径, $\theta$ はたわみ角,'は $\xi$ で1階微分した値,\*は重み関数, は境界値、 $\varepsilon$ は膜ひずみ、 $\kappa$ は曲げひずみ、Nは軸力、Mはモ ーメント, Eはヤング率, Aは断面積, Iは断面二次モーメン ト, fuは軸方向の分布荷重, fuは軸直交方向の分布荷重であ

#### 4. 解析条件

解析モデルと境界条件を Fig.1 に示す. 軸直角方向ηに等 分布荷重が作用する単純支持の 1/4 円弧ばりを対象に解析 を行った. ヤング率は $E=2.1\times10^{11}$ N/m<sup>2</sup>, 断面積はA= $0.02\text{m}^2$ , 断面二次モーメントは $I = 1.667 \times 10^{-5}\text{m}^4$ とした.

解析ケースは, NURBS 基底関数の次数が 2 次~4 次, 要 素数は1,2,4,8,16要素で検討を行った.

また, 仮想仕事の原理(式(5))の要素係数行列の計算に は数値積分(ガウス求積法)を用い、全ての解析ケースで 積分点数を10点とした.

### 5. 解析結果

方程式を解いて得られた解を式(6)に代入し,変位の関数を得た. 4 次 1 要素の軸方向 $\xi$ ,軸直交方向 $\eta$ の変位分布を理論解(式(8.1),(8.2))と比較したものを Fig.2 に示す. 4 次の NURBS 基底関数を用いたとき,変位の方向に関わらず 1 要素でも理論解に漸近する変位分布が得られた.

$$u_{exact} = \frac{f_u}{2EA} \left\{ -1 + \frac{\pi}{2} + \left(1 - \frac{\pi}{2} + \theta\right) \cos \theta + (-1 + \theta) \sin \theta \right\}$$

$$+ \frac{f_u \rho^2}{2EI} \left\{ -3 + \frac{\pi}{2} + 2\theta + \left(3 - \frac{\pi}{2} + \theta\right) \cos \theta + (-3 + \theta) \sin \theta \right\}$$
(8.1)

$$v_{exact} = \left(\frac{f_v}{2EA} + \frac{f_v \rho^2}{2EI}\right) \left\{-2 + \left(2 - \frac{\xi}{\rho}\right) \cos\frac{\xi}{\rho} + \left(2 - \frac{\pi}{2} + \frac{\xi}{\rho}\right) \sin\frac{\xi}{\rho}\right\}$$
(8.2)

次に、方程式で得られた解から求めた変位の関数をはり全体で90等分し、式(9)を用いて理論解との相対誤差を求めた.

Relative error = 
$$\sqrt{\sum_{i=1}^{m+1} \frac{\left(U_i - U_{i,exact}\right)^2}{\left(U_{i,exact}\right)^2}}$$
 (9)

ここで、mは分割数 (本研究はm=90 とした) 、 $U_i$ は着目方向の変位、 $U_{i,exact}$ は着目方向の変位の理論解である.

軸直交方向 $\eta$ について、はりの長さをL、等分割した1つの要素の長さをhとしたときの要素長h/Lを横軸に取ったときのはり全体における理論解との相対誤差を Fig.3 に示す。NURBS 基底関数の次数の累乗に比例して理論解との相対誤差が単調減少する結果が得られた。また、次数が2次から3次になると要素数は1/4で済み、3次から4次になると要素数は1/2で済む結果が得られた。

また、軸方向ξについても同程度の相対誤差が得られる ことを確認した.

#### 6. まとめ

本研究は細長い曲線部材のアイソジオメトリック解析のために、2次元平面において変位のみを未知変数に有する曲線ベルヌーイ・オイラーはり要素を構築し、水圧荷重の作用する円弧ばりを対象に要素の性能を評価した。従来のベルヌーイ・オイラーはり要素と異なり未知変数にたわみ角を含ませていないが、高次のNURBS基底関数を用いれば少ない要素数でも理論解に漸近する解を得られることを確認した。また要素性能評価を行った結果、理論解との相対誤差は要素長の減少に伴って次数の累乗に比例して単調減少することが分かった。

### 参考文献

- J. A. Cottrell, T. J. R. Hughes, Y. Bazilevs: Isogeometric Analysis-Toward Integration of CAD and FEA, Wiley, 2009.
- 2) 山田貴博:高性能有限要素法,丸善,2007.
- 3) 唐澤奈央子,長谷部寛: スプライン関数の特性を考慮した IGA はり要素の構築, 令和3年度土木学会全国大会第76回年次学術講演会講演概要集, CS5-06,2021.
- V.Slivker: Mechanics of Structural Elements : Theory and Applications (Foundations of Engineering Mechanics),

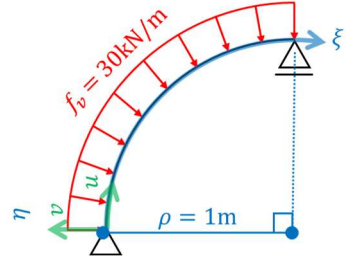
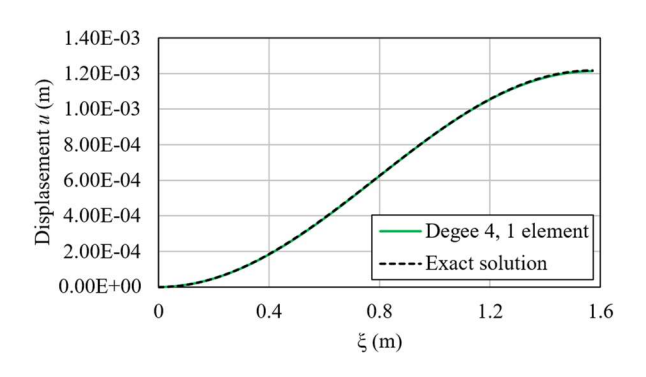
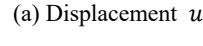
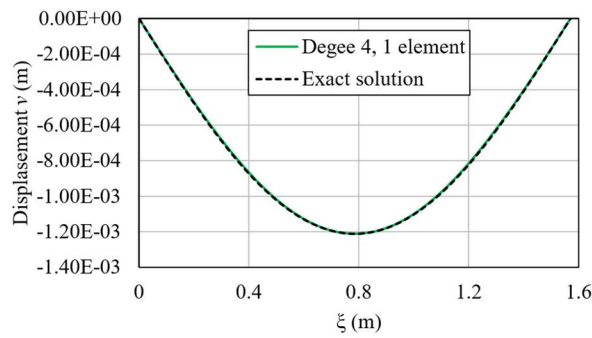


Fig.1 Computational model and boundary conditions







(b) Displacement v

Fig.2 Distribution of displacement along the beam with uniformly distributed loading

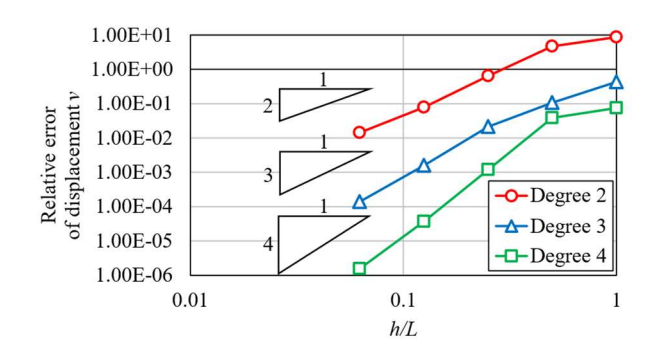


Fig.3 Convergence rate of the curved Bernoulli-Euler beam element

Springer, 2010

V F. Armero: Invariant Hermitian finite elements for thin Kirchhoff rods. I: The linear plane case, Computer Methods in Applied Mechanics and Engineering, 213–216,427– 457,2012